

淡塩界面附近の乱流拡散に関する基礎実験

東北大學工學部 正員 岩崎敏夫
東北大學大學院 學生員 阿部至雄
東北大學工學部 學生員 根本隆采

1. はじめに

河川はわれわれの生活や諸産業の基幹としてその重責を担ってきているが、最近これらの人間社会の発展に伴い、大気汚染とも含め、水質汚濁や水資源確保の問題に対し、その解決を求める要請が高まっている。水資源開発の解決策の一つとして、河口部と築堤を包囲することにより河水を有効に捕捉貯留する河口湖方式が試みられており、そこへ発生する現象が乱流現象であるため、解決を要する密接な水理学上の問題も少なくはない。

乱流拡散に関する理論の多くは Taylor の論文(1921) による源泉をみると分かるが、密度勾配をもつた流れの場の諸特性は、大気汚染水質汚濁とも関連して、当然均質流体での特性とは異なるであろうと考えられる。二成元密度流の拡散問題に対するアプローチの仕方には、比較的安定した状態の二層間に適当な抵抗係数を定めて論ずる立場と不安定な状態に着目し、乱流現象の立場から論ずる方法があるが、既往の多くの研究は前者に属している。

本報告は、乱流拡散機構解明のための基礎的研究の一環として、淡塩水密度流現象によつて生じる主として界面附近の乱流拡散現象に着目し、その現象と微視的統計論的な観点からとらえ、乱れのスペクトルなどにより密度勾配のある乱れの場の特性と主にエネルギー授受の関係について考察せんとするものである。

2. 実験の装置と方法

実験装置 実験装置の全体的な配置は図-1に示すとおりである。実験用水路は長さ 3.8 m 幅 15 cm 保証 30 cm の、その水路上流側に堰高 10 cm、長さ 182.4 cm の広頂堰を設け、水路下流部でできるだけ一様な乱れをつくるようにしてある。

乱れ測定の方法 図-2 に示すような DC 線電極間の電気抵抗変化が記録されるように工夫された 2 本の Probe の受感部を互いに離し、その区間を塩分が流下するのに要する時間から測点 $\Delta x/2$ の乱れの速度変動成分を求めた。なお、濃度の時間的変化および内部波の周期の測定も同時に試みられた。

実験方法 2 次元実験用水路の水路勾配は水平に、淡水部は静止状態で 10 cm に調整され、塩水は広頂堰、高 10 cm まで注入し、下部静止の二成元流とし

図-1 実験装置の配置

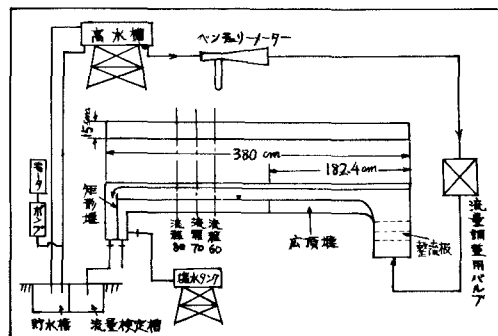
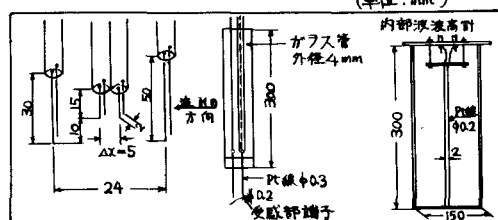


図-2 乱れ測定 Probe および 内部波波高計
(単位: mm.)



たが 実験中 塩水層の状態が常に一定に保たれるよう塩水の補給を行った。実験のcaseを表-1に示した。ここに、原点は伝頂堰最下流堰頂にとり 静止界面において水平にx軸と それに垂直上向きにy軸をとった。

表-1 実験Case $y=0.5 \sim 1.0 \text{ cm}$

| 横幅 | 流域 60 $x=60\text{cm}$ | 流域 70 $x=70\text{cm}$ | 流域 80 $x=80\text{cm}$ | 底面積 |
|------------|--------------------------|--------------------------|--------------------------|----------------------|
| $S_1=1.01$ | 1.2 (1.6) | 1.2 (1.6) | 1.2 (1.6) | 7/58 2/64 1/62 |
| $S_2=1.02$ | 1.2 | 1.2 | 1.2 | 8/79 2/78 1/78 |
| $S_3=1.03$ | | | | |

3 実験結果に基づく解析例

流体の乱流場は不規則変動の要素である多くの渦から構成されており それらは それぞれ持つ乱れの強さ 寿命時間 大きさ、周波数とともに各渦同士はエネルギー授受の平衡がとられていふと考えられる。そのような乱れの規模によつて 扩散の状態も異つくると思われる。

乱れのスペクトル

ランダムな時間的関数である流れ方向の速度といふは その方向の局所的平均流速を \bar{u} 瞬間時間 T とすれば 一回の観測による時間的平均値は 次式で表示される。

$$\bar{u} = \frac{1}{T} \int_{t_0}^{t_0+T} u(t) dt \quad (1)$$

いま 式(1)で示するよりは平均値を中心へ変動する速度変動成分をランダムな時間関数 $u'(t)$ とし その $t=t_0$ から $t=t_0+T$ までととつて $u'(t)$ とあれば 自己相関関数 $R(\tau)$ は次式で定義される。

$$R(\tau) = \frac{1}{T} \int_{t_0}^{t_0+T} u'(t) u'(t+\tau) dt \quad (T \rightarrow \infty) \quad (2)$$

次に、 $W(f)$ と乱れの一次元スペクトルとすれば、周波数が子と子の間にある間の乱れのエネルギー \bar{U}^2 に対する寄与の割合は $\bar{W}(f)$ で表わされ 自己相関係数とは Wiener-Khintchine の関係式として以下のように 次なる関係がある。

$$R(\tau) = \int W(f) \cos 2\pi f \tau dt \quad (3)$$

$$W(f) = 4 \int R(\tau) \cos 2\pi f \tau d\tau \quad (4)$$

なお 式(2)および式(3)で $\tau = 0$ の場合 速度変動に対する $R(0)$ は乱れの強さを表す。

$$R(0) = \lim_{T \rightarrow \infty} \frac{1}{T} \int_{t_0}^{t_0+T} u'(t) u'(t) dt = \int_0^\infty W(f) df = \bar{U}^2 \quad (5)$$

東北大学計算センターの電子計算機NEAC-2230を用い 式(3)および式(4)から それより相関およびスペクトルを求め 計算結果の一例を図-3に示した。

資料の処理は データの記録から情報として使われる最大周波数が約1 CPSとなしえないので、データの読み取り間隔を Δt 、計算時間と T 、相間を計算する場合の lag time と $m\Delta t$ としたとき Δt と 0.25秒 資料の読み取り総数 N と 387個 lag の最大値 m と 48として計算を行つた。必要とする計算時間は約 97 秒分である。求めらるるスペクトルは、次の周波数に対するものであるが 計算は $\nu = 22$ で打ち切り また $\nu = 0$ に対するスペクトルは解析の対象から除いた。

$$f = \nu / 2m\Delta t \quad (0 \leq \nu \leq m) \quad (6)$$

Tukeyは 得られるスペクトルの信頼度に関して検定を行ふ 各自由度ごとに信頼度に対する信頼限界を求めていふ。得られたスペクトルは 次なる自由度DFともつ。本計算の自由度は約17である。

$$DF = 2(N/m - 1/3) \quad (7)$$

自由度は高い方が望ましいとされていふが Tukeyの方法ではスペクトルの分解能と計算の安定度とは相反する関係にある。赤池らの研究によれば 自由度をやれほど多くしないでも安定した結果が得られると言明している。なお 本計算では変動 $u'(t)$ の Prewhite 移動平均の操作は省いた。

内部波

内部波のみかけの周期、を図-3に示したが、現在、震度の時間的変化の記録も含め、解析に供すべき牙し、波高記録を得て、いはべり、スペクトル解析の結果得られたものでははべり。

4 実験観察およびスペクトル解析による若干の考察

境界面の状態と観察すると、塩水の密度、相対速度、淡水層の厚さなどの変化に伴い、Keulegan のように、界面は異った様相と呈する。相対速度を変化させてみると、始め、界面にはんの変動も認められぬ、状態から、順次、安定な内部波が発生し、それが飛達することにより一部の波形勾配の大きさ、波頂から碎波による流体塊の放出が始まると、更に、界面には不規則な短、波長の波が生じ、波列のほとんどの波頂から拡散混合が始まる。その後、それら短波長の波が比較的規則的とみられる内部波の上に重なり、拡散の主役となるが、つゝくは界面自体の乱山による拡散混合が起り、上層は新らかに密度勾配のある乱山の場へ変わる。

そのような現象をエネルギー観察の観点からみれば、平均流のもつエネルギーは、主に水深の方向に変化するセイ断力として界面近くへ伝達されるとともに、乱山による平均流からのエネルギーの供給、逸散などによるエネルギーの移行も生じる。界面に近づくにつれ、エネルギーの大部分は粘性によるよりもむしろ圧力変動を通して、内部波発生のために使われると考えられる。このようにして、一度内部波のエネルギーとして吸収されたものが、碎波や粘性によつて再び上層へのエネルギーの移行を生じ、上層乱山と拡散構造との相互作用により、密度勾配とまったく乱山の場が新らかに形成されると考えられる。

いすゞにせよ、粘性境界層の不安定、その他未知の構造による碎波などにより、波動現象から乱流現象へのエネルギー逸散は、内部波のエネルギー構造構造の大きさを要因の1つであり、界面近くで生じる乱流拡散現象、更には拡散構造と密接な関係にあると思われる。

西田(1967)は、複数界面の内部波の碎波の問題に關して、Permanent Type のまきでは容易に碎波することではなく、Kelvin-Helmholtz の不安定理論とせつ事がより表現し、波形の変形も考慮すべくあると指摘している。岩崎(1966)は Internal jump の問題について、エネルギー収支の関係から、独自の同旨のことと示している。

密度流におけるこのような現象は Wind Wave の発達の現象に類似している。Wind Wave の関しては数多くの論文が發表されており、Phillips(1958)は Wind Wave の高周波側には普遍平衡領域が存在し、そこでは周波数スペクトルの形は $\omega^{-\alpha}$ なることを示している。西田(1964)は、風波のスペクトルの高周波側と $\omega(\tau) = \alpha \tau^{\beta}$ と表現し、 $\beta > 0$ ならば、調動運動が発生することを示している。エネルギーがこのエネルギースペクトルの平衡以上に蓄積されれば、波動運動の不安定の発生、碎波などの構造を通じて逸散され、一部は他の周波数領域へ移行し、一部は乱流運動のモードへ移行すると考えられる。

次に、乱山の規模により拡散の程度も当然異つくること考えられるので、図-3により、密度差による界面近くの乱山の場の特性について、まず若干の考察を簡単に試みる。

一般に、スペクトルのエネルギーは低周波側に寄つて、しかも、分解能が十分でなく Peak も明瞭でない。密度が 1.03 g/cc の場合には、比較的スペクトルの分解がはつきりし、卓越周波数は

約0.2 CPSであることがわかるが、必ずしも、中程度の乱れ（約2秒以下）と、いわゆる水理構造物の周囲などに生じるカルマン渦よりかなり大きく、河川にみられる eddy に近い渦が支配的で、セン断流場とか密度流の convective diffusion が主に関係するとみられて、この微細な乱れの存在は少ない。

スペクトルの全エネルギーは、傾向として $\beta_1 > \beta_2 > \beta_3$ であるが、Peak附近から高周波側にかけてのエネルギーの減衰の仕方は似ている。

スペクトルの Peak は、全体的に密度差と大きく与えられたほど、高周波側へ移動する傾向を示している。乱れの場はより小となる周期の渦が支配的である。

内部波の平均周期は、渦の卓越周期に比しかなり小さく、その大きさは傾向として $\beta_1 > \beta_2 > \beta_3$ である。

なお、體積変動との関係については、データーが少ないので考察できぬ。

5 むすび

対流による乱流拡散構造を明らかにするには、当然、内部波との関連から解明する過程を経る必要性も生じてくる。また、得られた乱れのスペクトルの全エネルギーの変化と流程や他の關係から考察するにあたっても、必ずしも基本スペクトルの 1 つとみなすべきことであると考えられる。

内部波あるいは上尾乱れの場においては、風波における 5乗則に相当するような、明らかの法則性はみいださずである。

なお、現在各実験 case について再検討あるいは計算中であり、その結果は、考察と合わせて講演時に発表する。

参考文献

- 1) R.B. Blackman and J.W. Tukey The measurement of power spectra from the point of view of communications engineering, Dover Publications
- 2) O.M. Phillips The equilibrium range in the spectrum of wind-generated waves, J. Fluid Mech. Vol. 4, (1958)
- 3) 岩崎敏夫 密度流の諸問題、水工学シリーズ 66-16 (1966)
- 4) 渡田徳一 密度流の問題(2)-古典的理論の検討-, 海岸工学講演会講演集 (1967), On the f^5 law of wind-generated waves, Port and Harbour Tech Res Inst, Report No 6 (1964)

図-3 乱れのスペクトル

